

図 3.4.65 冬季における地衡流東西成分 (U) の東西断面分布 (50°N)

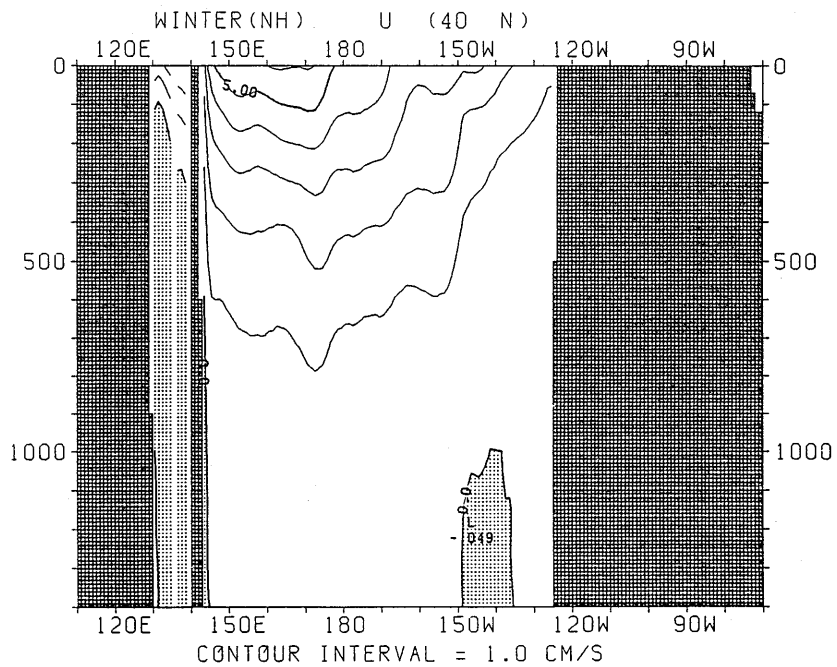


図 3.4.66 冬季における地衡流東西成分 (U) の東西断面分布 (40°N)

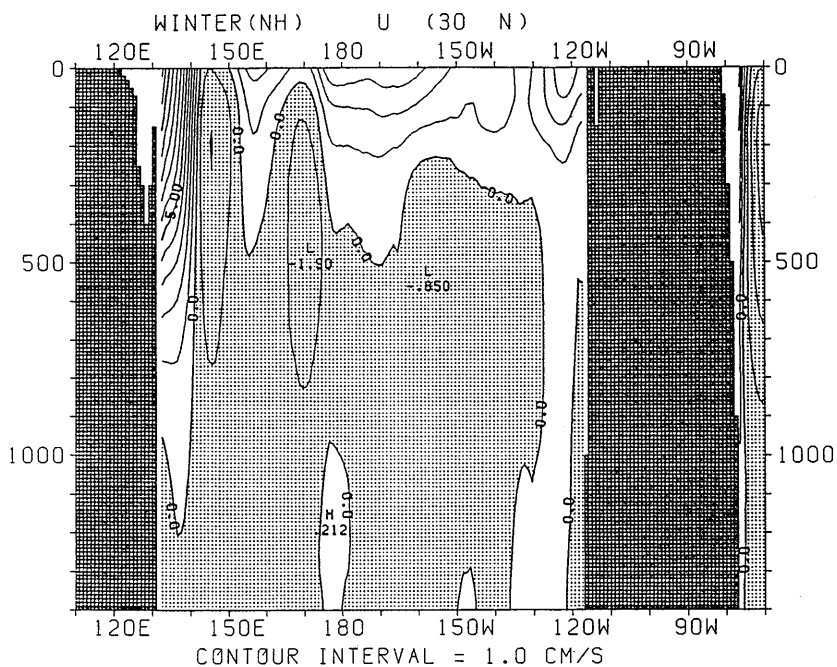


図 3.4.67 冬季における地衡流東西成分 (U) の東西断面分布 (30°N)

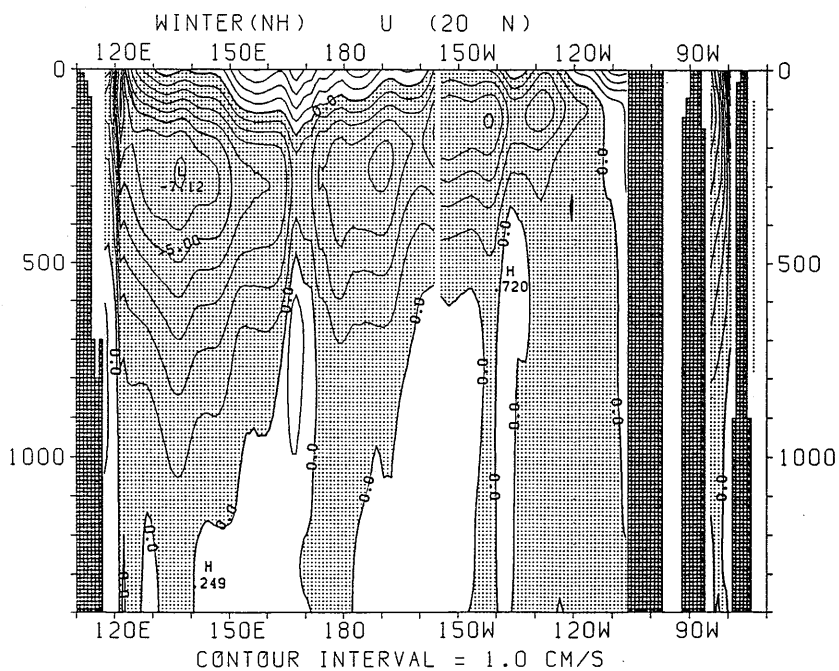
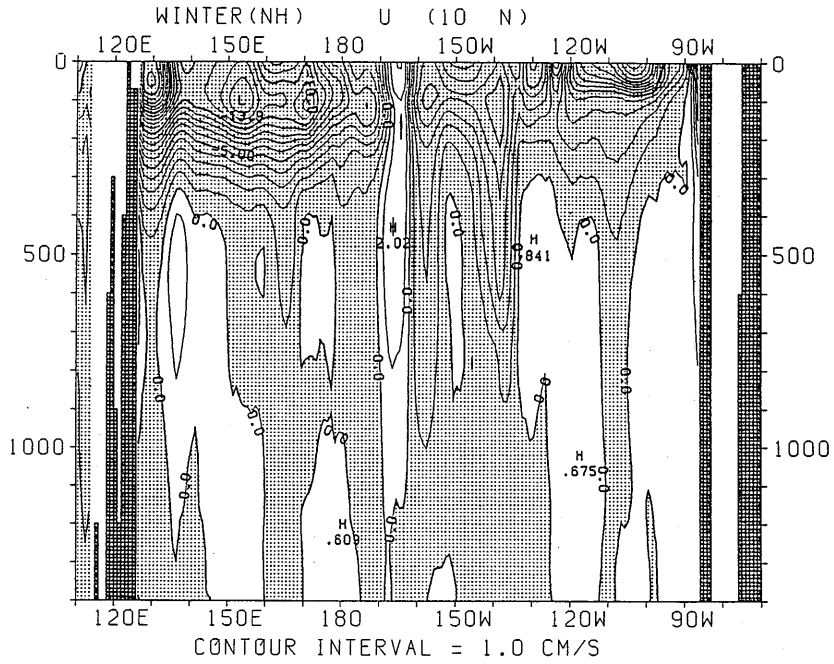


図 3.4.68 冬季における地衡流東西成分 (U) の東西断面分布 (20°N)



・図 3.4.69 冬季における地衡流東西成分 (U) の東西断面分布 (10°N)

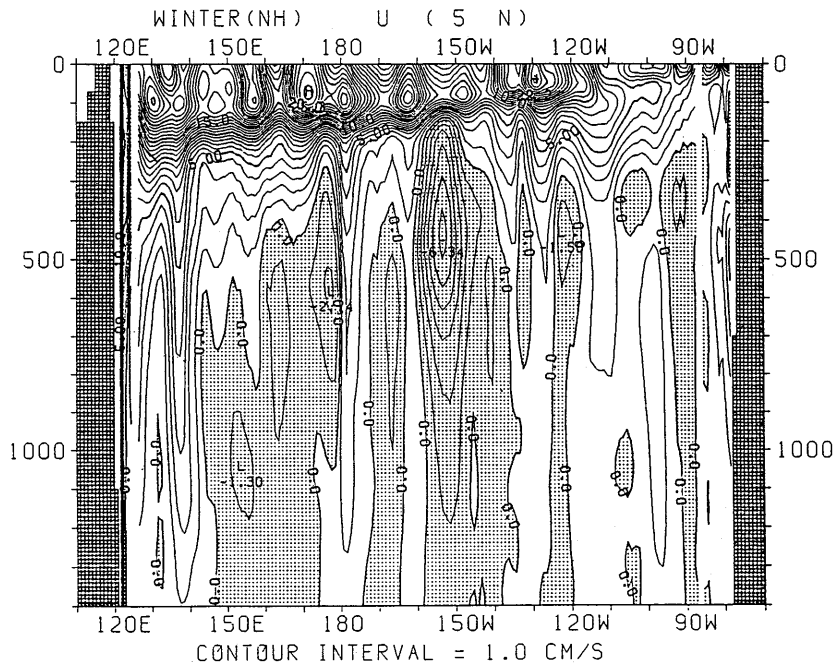


図 3.4.70 冬季における地衡流東西成分 (U) の東西断面分布 (5°N)

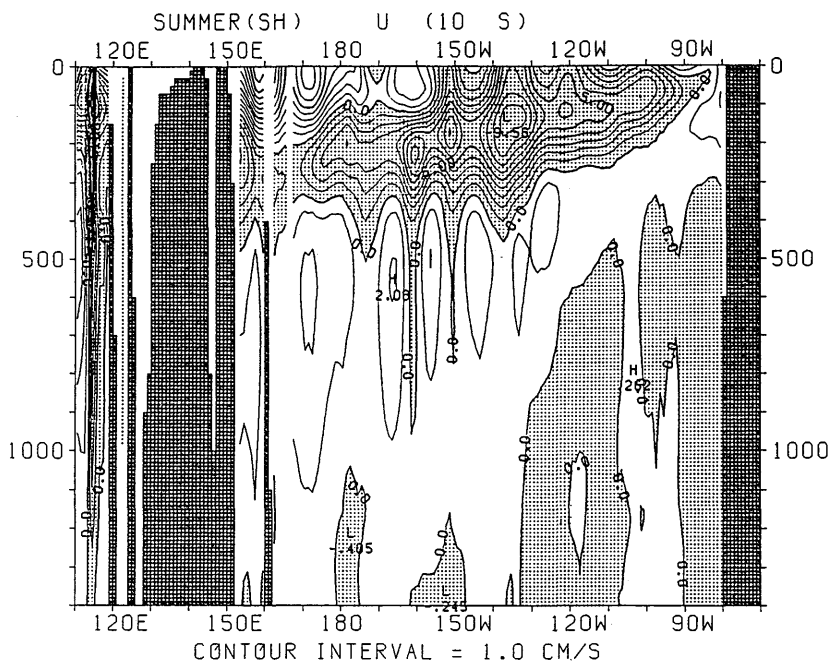


図 3.4.71 夏季 (南半球) における地衡流東西成分 (U) の東西断面分布 (10°S)

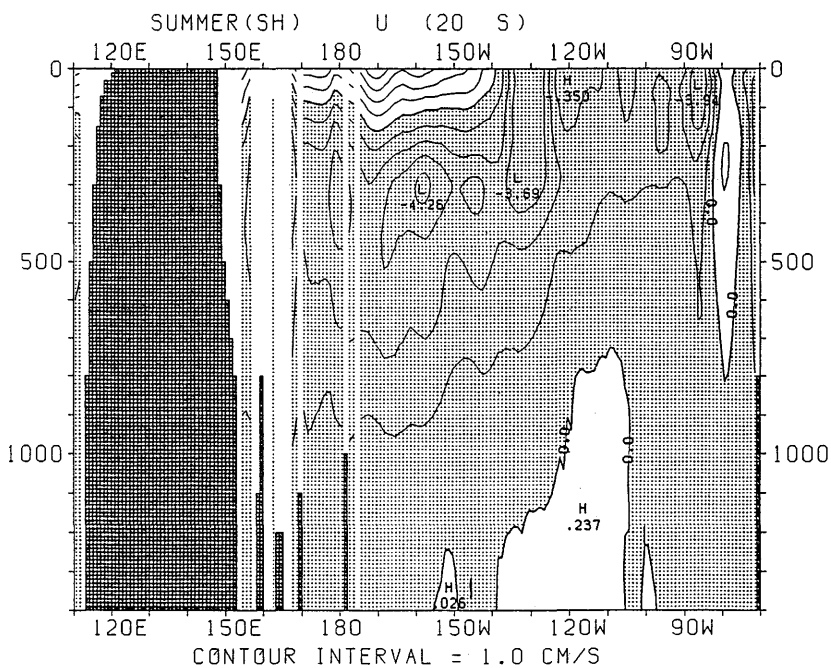


図 3.4.72 夏季 (南半球) における地衡流東西成分 (U) の東西断面分布 (20°S)

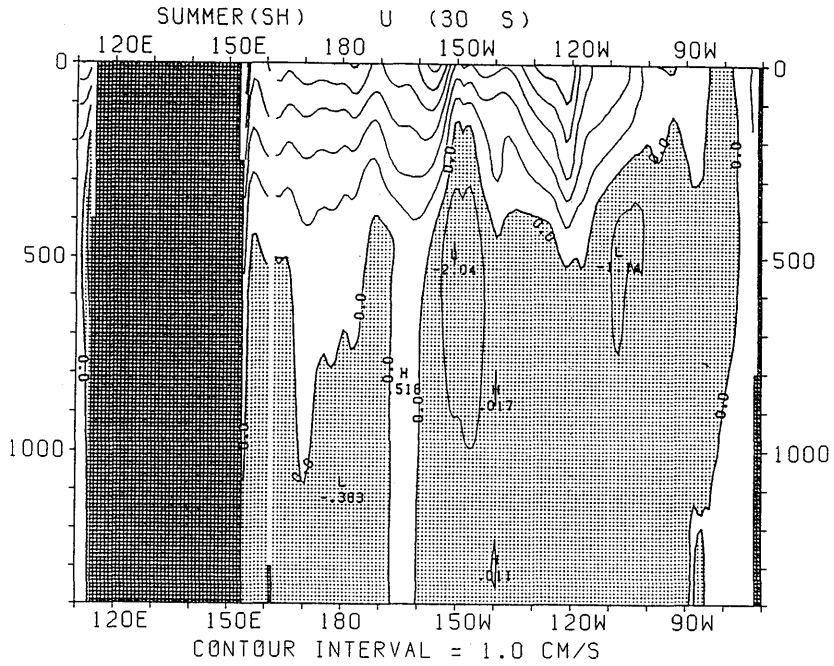


図 3.4.73 夏季 (南半球) における地衡流東西成分 (U) の東西断面分布 (30°S)

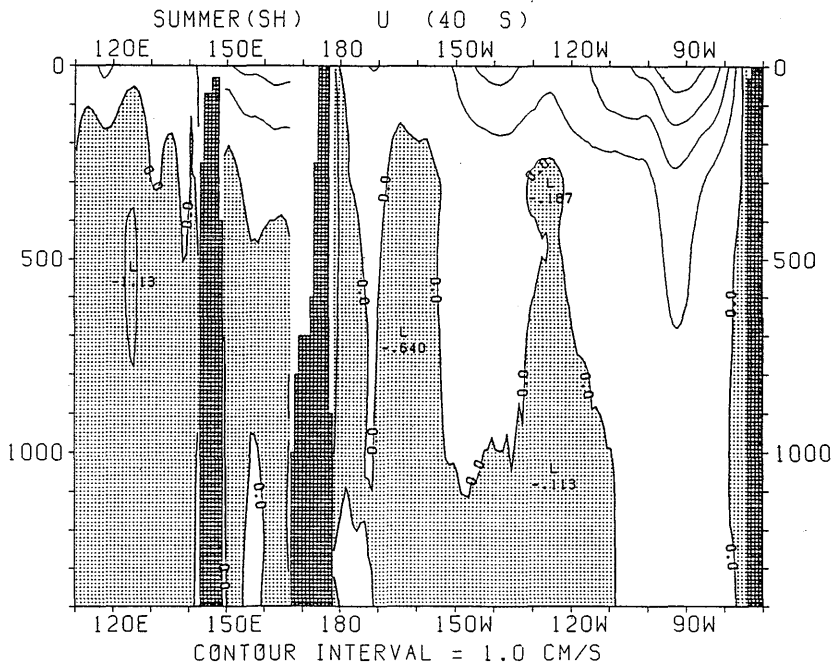


図 3.4.74 夏季 (南半球) における地衡流東西成分 (U) の東西断面分布 (40°S)

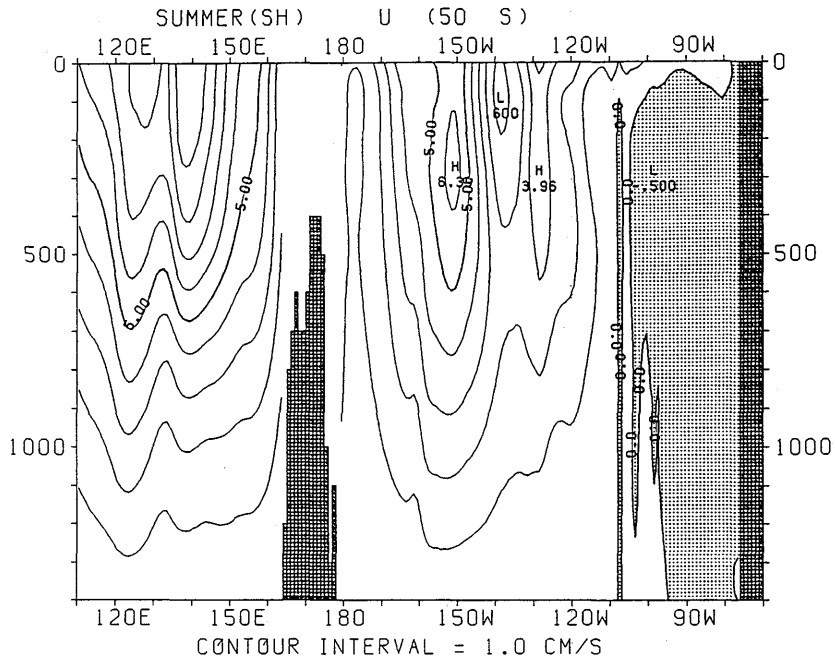


図 3.4.75 夏季 (南半球) における地衡流東西成分 (U) の東西断面分布 (50°S)

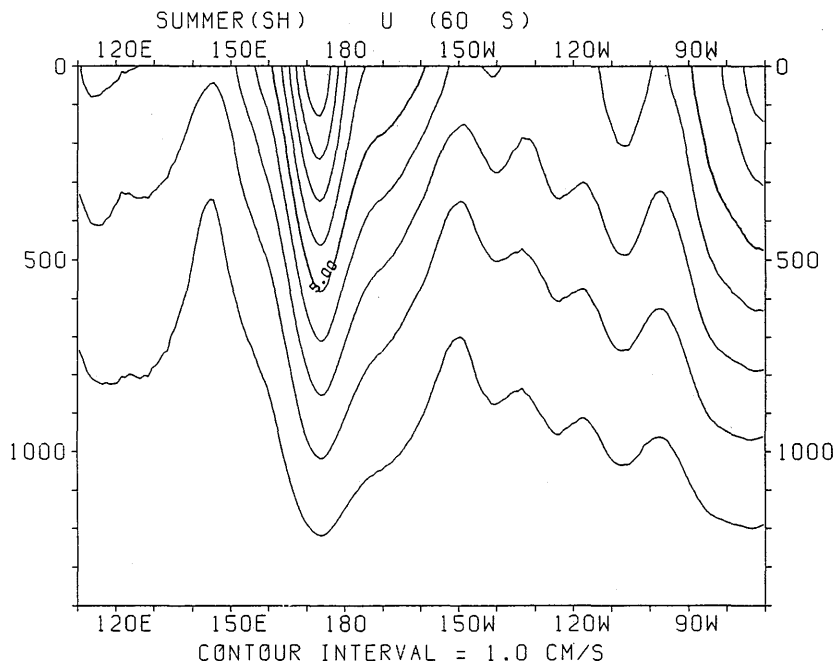


図 3.4.76 夏季 (南半球) における地衡流東西成分 (U) の東西断面分布 (60°S)